

図9 ラット脳の灌流固定後の脳（上図）と凍結切片像（下図）
側脳室にカニューレが挿入された場合の例を示す。

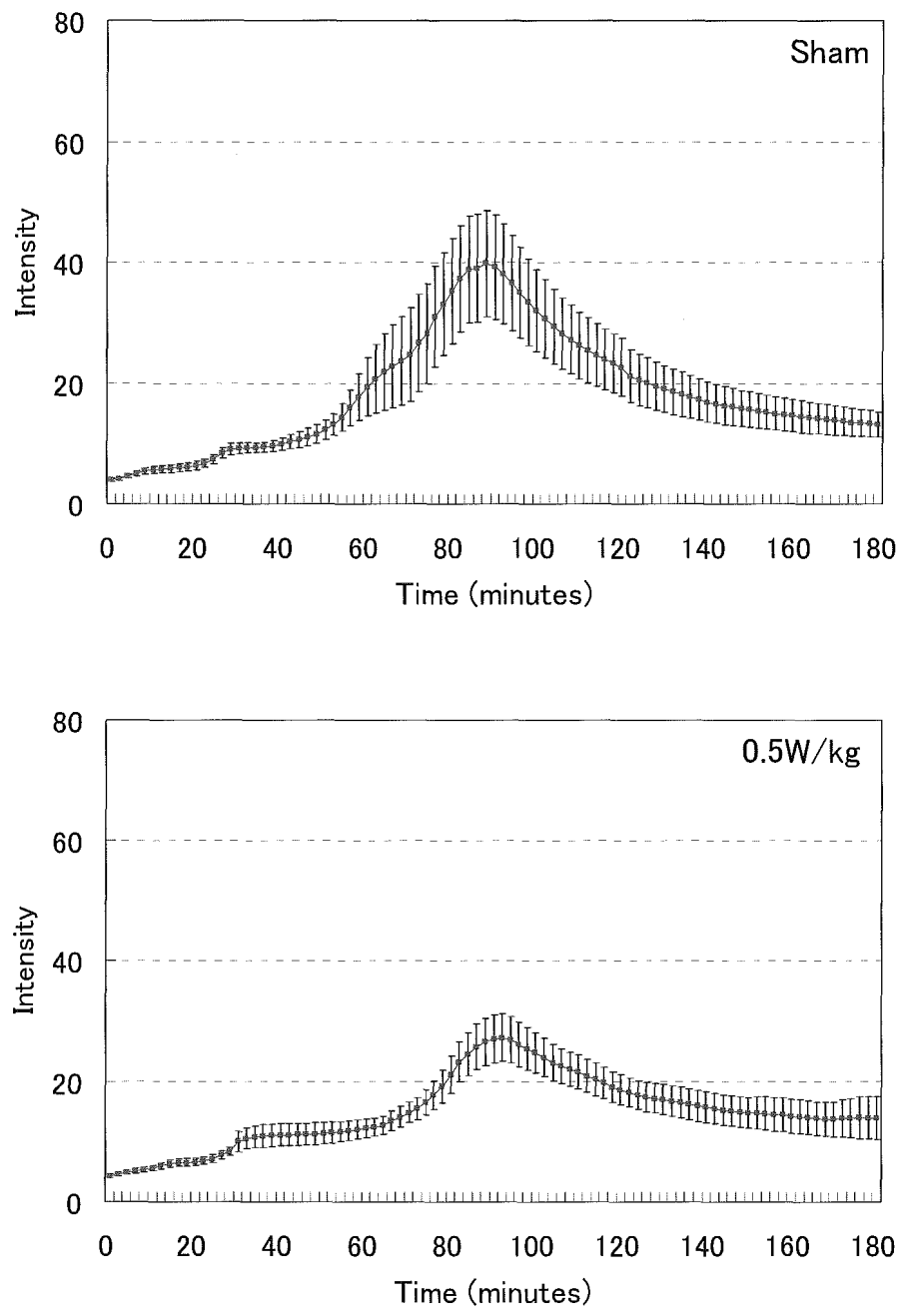


図 10-1 幼若ラットに電磁界の亜慢性曝露を行った際の溶出液の蛍光チャート

上図：sham 群 ($N=14$)、下図：0.5W/kg 群 ($N=12$)

(誤差範囲は SEM を示す)

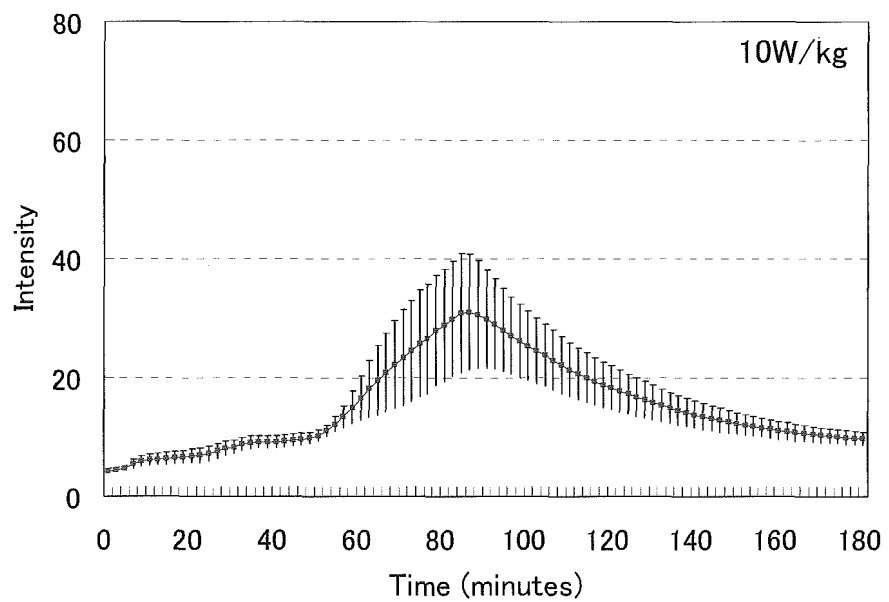
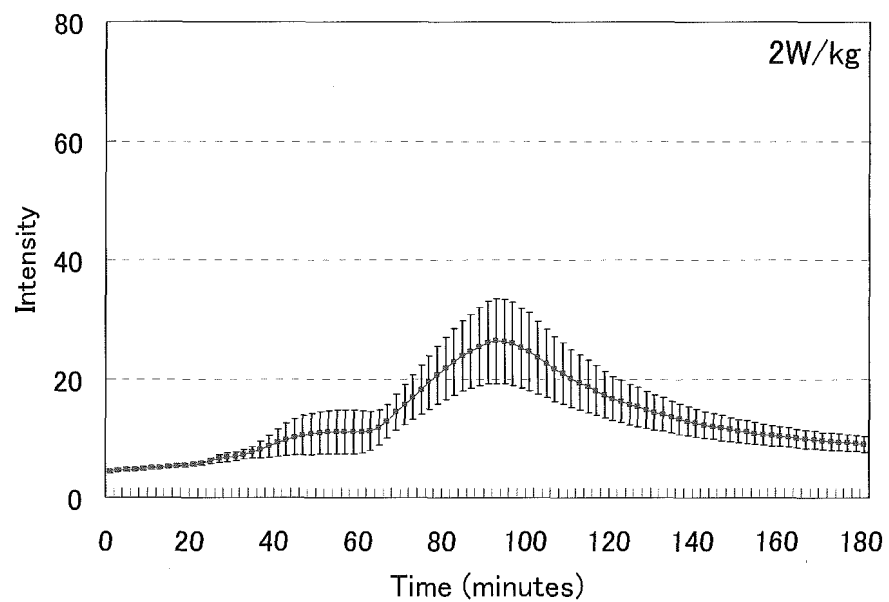


図 10-2 幼若ラットに電磁界の亜慢性曝露を行った際の溶出液の蛍光チャート

成熟ラットに電磁界曝露を行った際の溶出液の蛍光チャート

上図：2.0W/kg 群 (N=5)、下図：10W/kg (N=9)

(誤差範囲は SEM を示す)

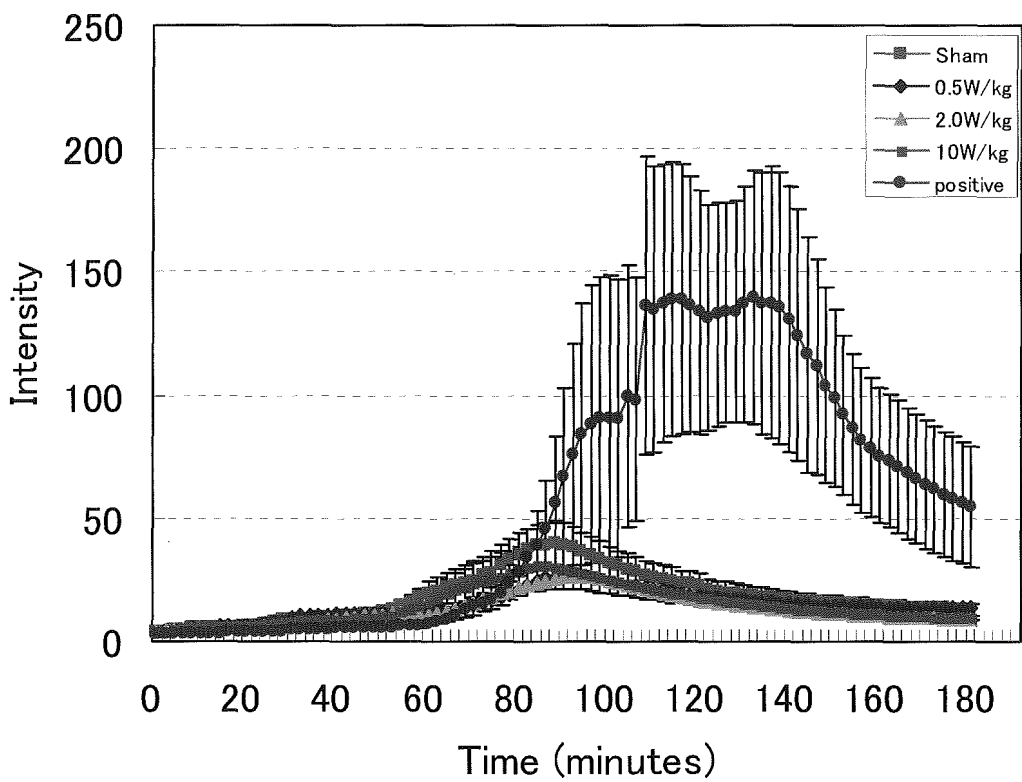


図 11 幼若ラットに亜慢性電磁界曝露を行った際の溶出液の蛍光チャート総合図
赤線で示したものは熱作用によりバリアが影響を受けた場合のプロフィール
を示す。(誤差範囲は SEM を示す)

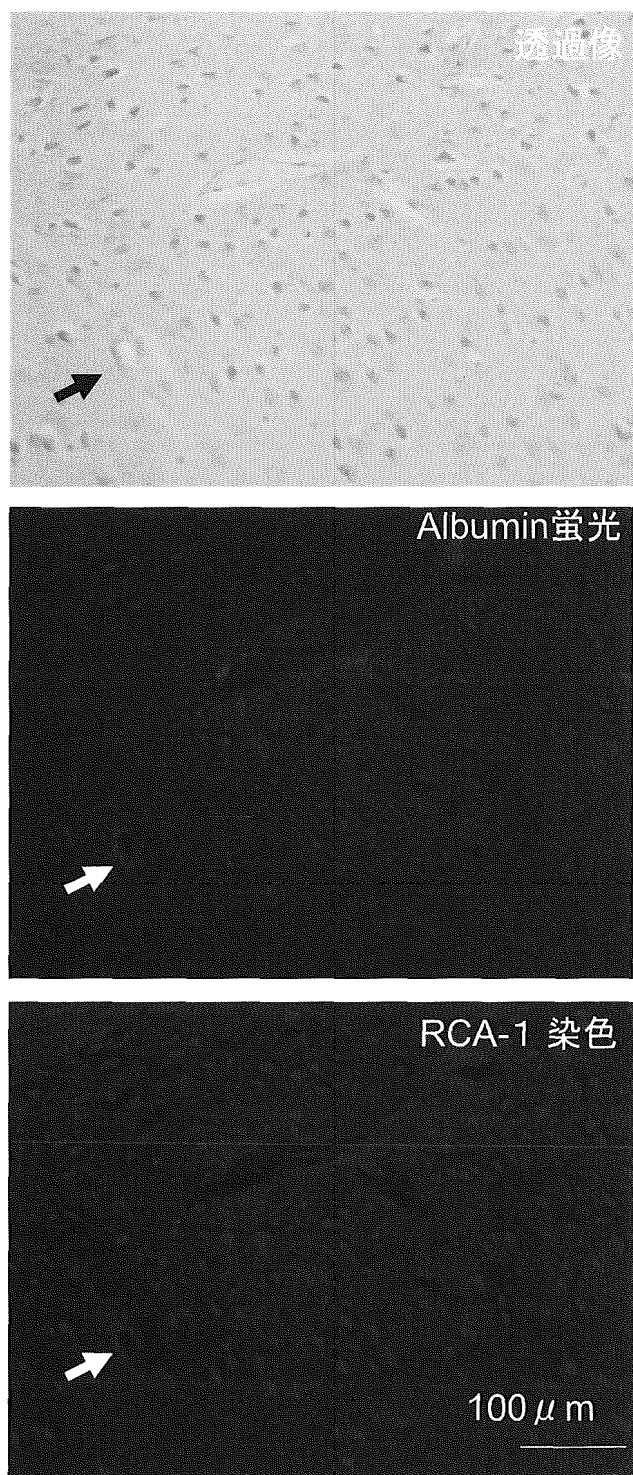


図 11 亜慢性曝露を行った脳のスライス像

- (上) HE 染色透過像
 - (中) FITC-Albumin 蛍光像
 - (下) RCA-1 蛍光染色像
- 全て同一部位の像を示す。

別添6

研究成果の刊行に関する一覧表

発表者氏名	論文タイトル名	発表誌名	巻号	ページ	出版年
Baba M, Suzuki Y, Taki M, Fukunaga K, Watanabe S.	Three Dimensional Visualization of the Temperature Distribution in a Phantom for the Assessment of Localized Exposure to Microwaves.	Abstract Collection of the 27th Annual meeting of Bioelectromag netic Society		250-251	2005
Suzuki Y, Baba M, Taki M, Fukunaga K, Watanabe S.	Visualization of energy absorption due to high frequency electromagnetic field within tissue equivalent gel phantom.	Bio-Dielectrics: Theories, Mechanisms and Applications, Annual Conference 2006 of the Dielectrics Group of the Institute of Physics, Leicester, UK		21	2006
Masuda H, Ushiyama A, Hirota S, Watanabe H, Wake K, Watanabe S, Yamanaka Y, Taki M, Ohkubo C.	Real-time measurement of brain microcirculation during RF-EMF exposure using an “8”-shaped loop antenna.	Abstract Collection of the 27th Annual meeting of Bioelectromag netic Society		170	2005

Ushiyama A, Masuda H, Hirota S, Watanabe H, Wake K, Watanabe S, Yamanaka Y, Taki M, Ohkubo C.	Development of real-time measuring system for blood-brain barrier function and acute effects on BBB function by RF exposure to rat brain.	Abstract Collection of the 27th Annual meeting of Bioelectromagnetic Society		510-511	2005
Ushiyama A, Masuda H, Hirota S, Watanabe H, Wake K, Watanabe S, Yamanaka Y, Taki M, Ohkubo C.	Acute effects on blood barrier function by RF-EMF exposure to rat brain in vivo.	Abstract book of the 28th General Assembly of International Union of Radio Science		KP.6(014 36)	2005
Masuda H, Ushiyama A, Hirota S, Watanabe H, Wake K, Watanabe S, Yamanaka Y, Taki M, Ohkubo C.	Real-time measurement of brain microcirculation during RF-EMF exposure using an “8”-shaped loop antenna.	Abstract book of the 28th General Assembly of International Union of Radio Science		K03.5(09 7)	2005